## Prédisposition aux leucémies



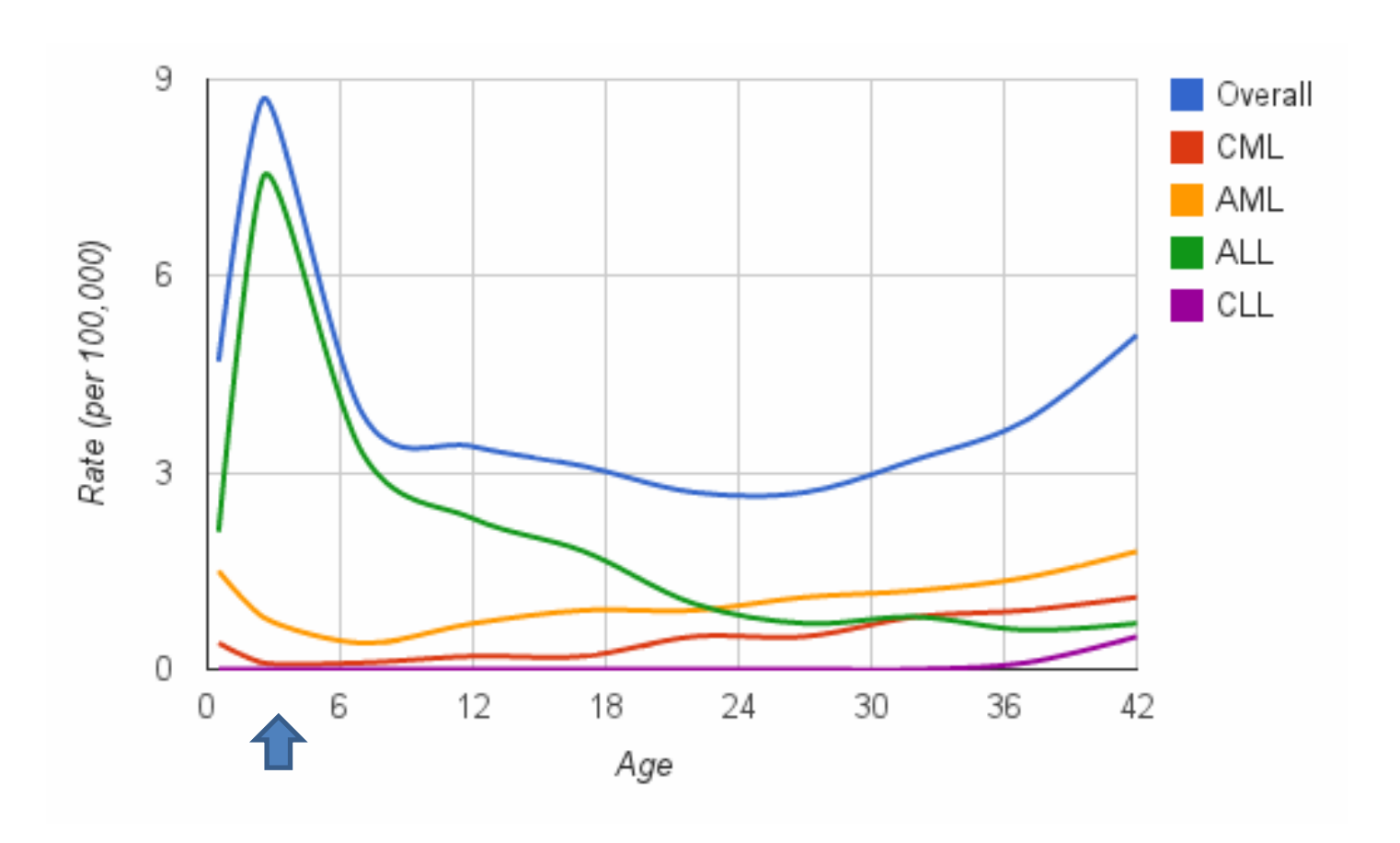




#### Yoann Vial

CHU Robert Debré – Département de Génétique INSERM UMR-S1131 – Institut Universitaire d'Hématologie

## Leucémie aigüe lymphoblastique

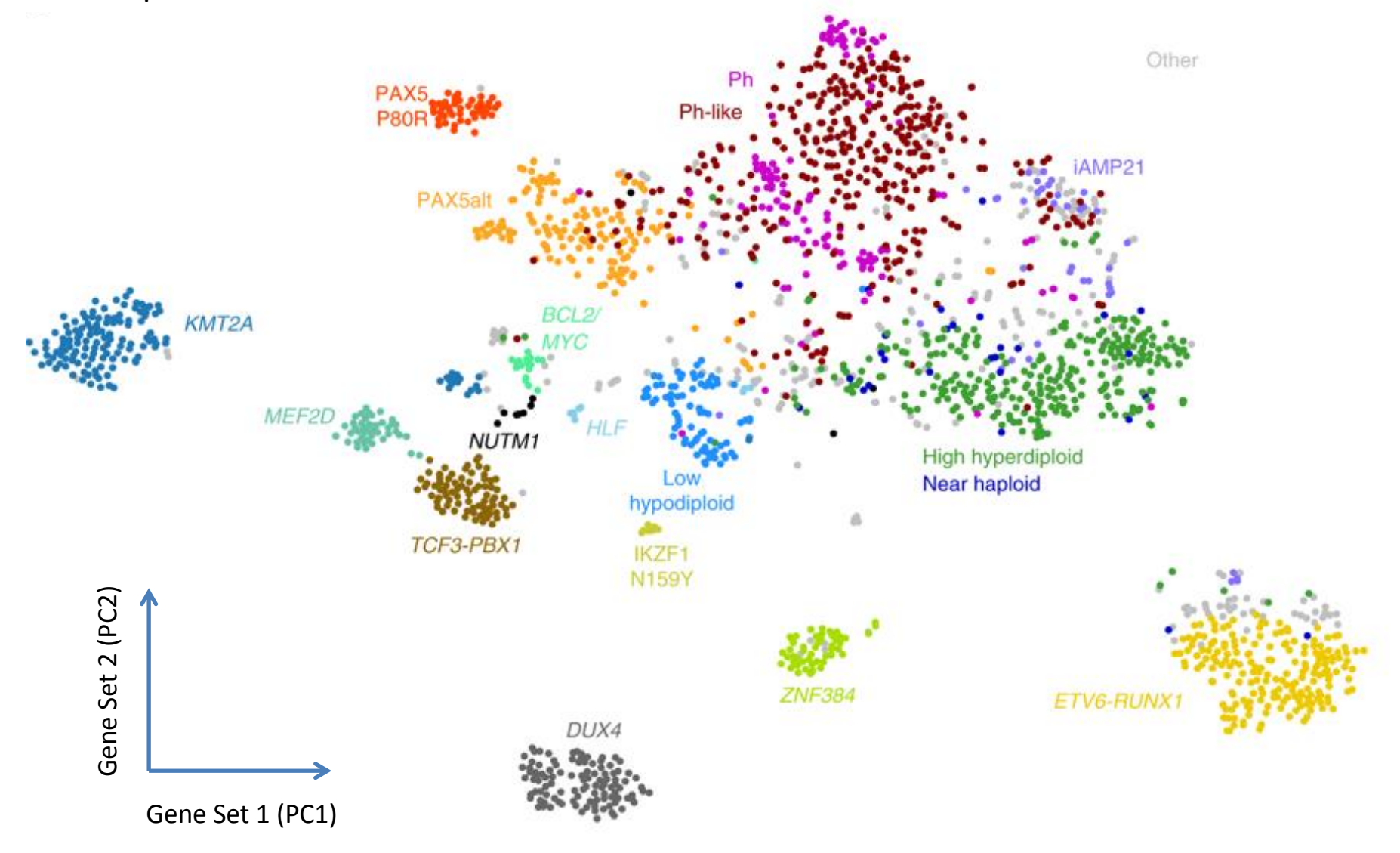




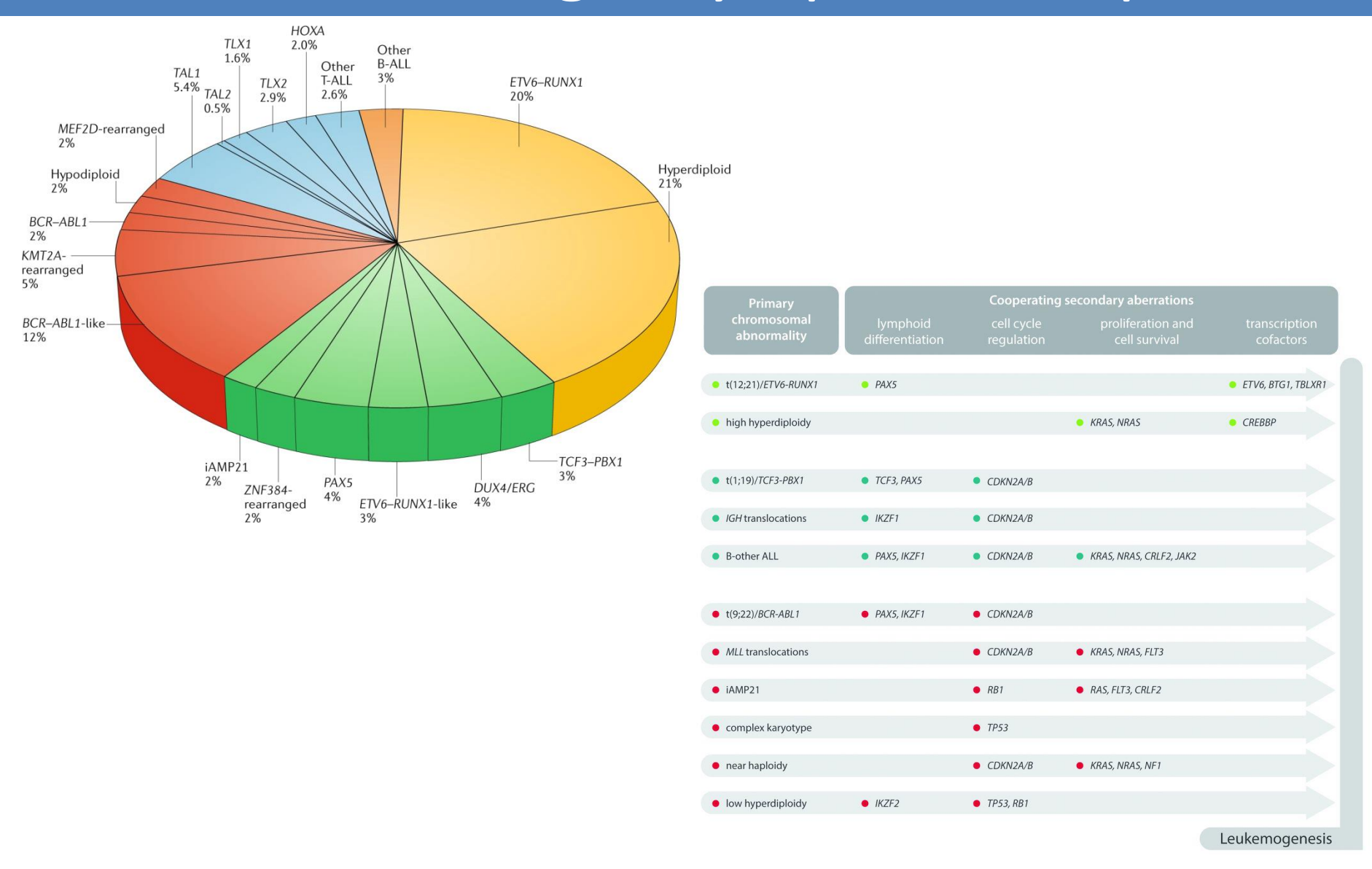
En France, 1 enfant sur 1500 développe une LAL avant 15 ans

## Leucémie aigüe lymphoblastique

RNA-seq sur 1988 LAL-B

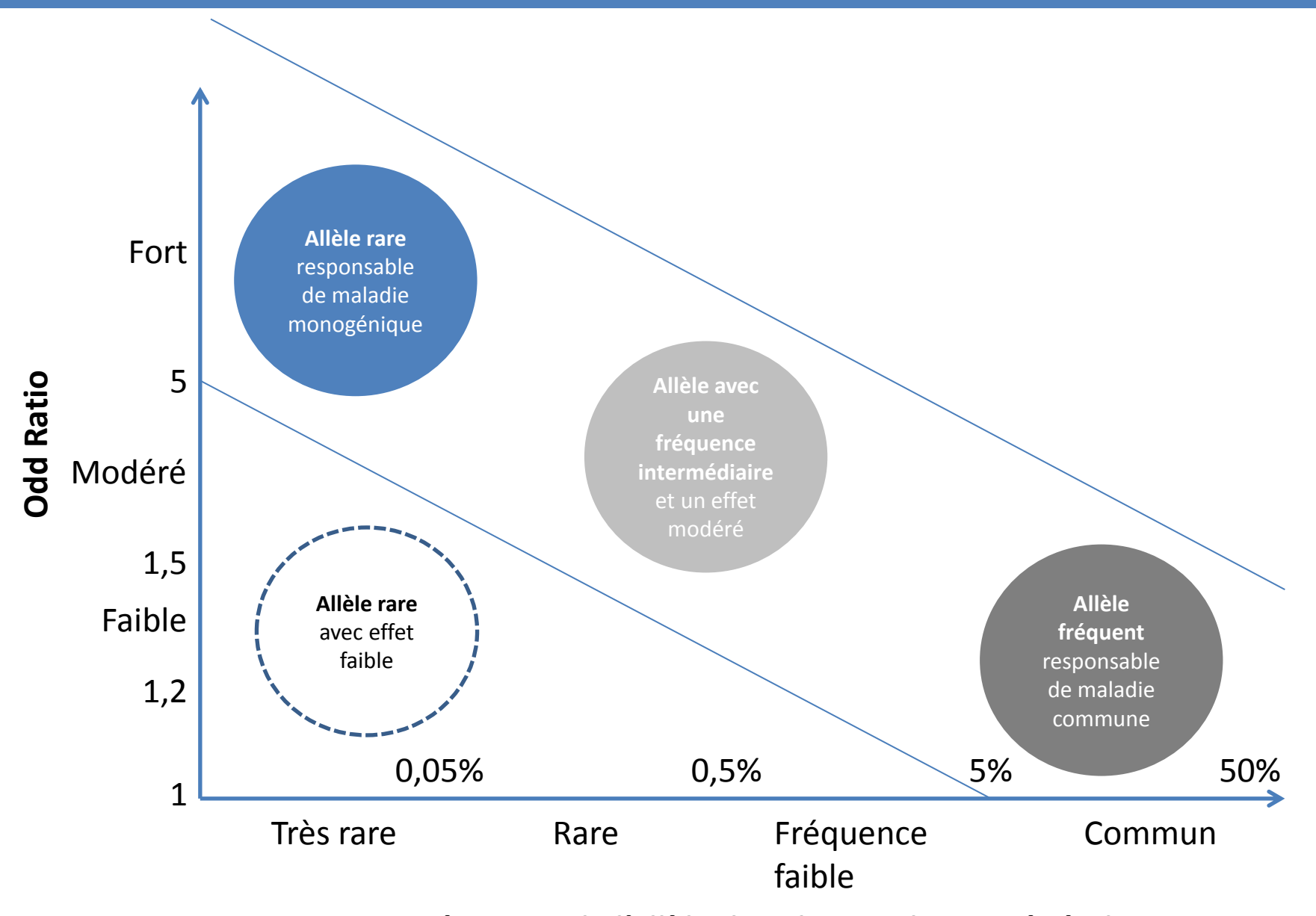


## Leucémie aigüe lymphoblastique



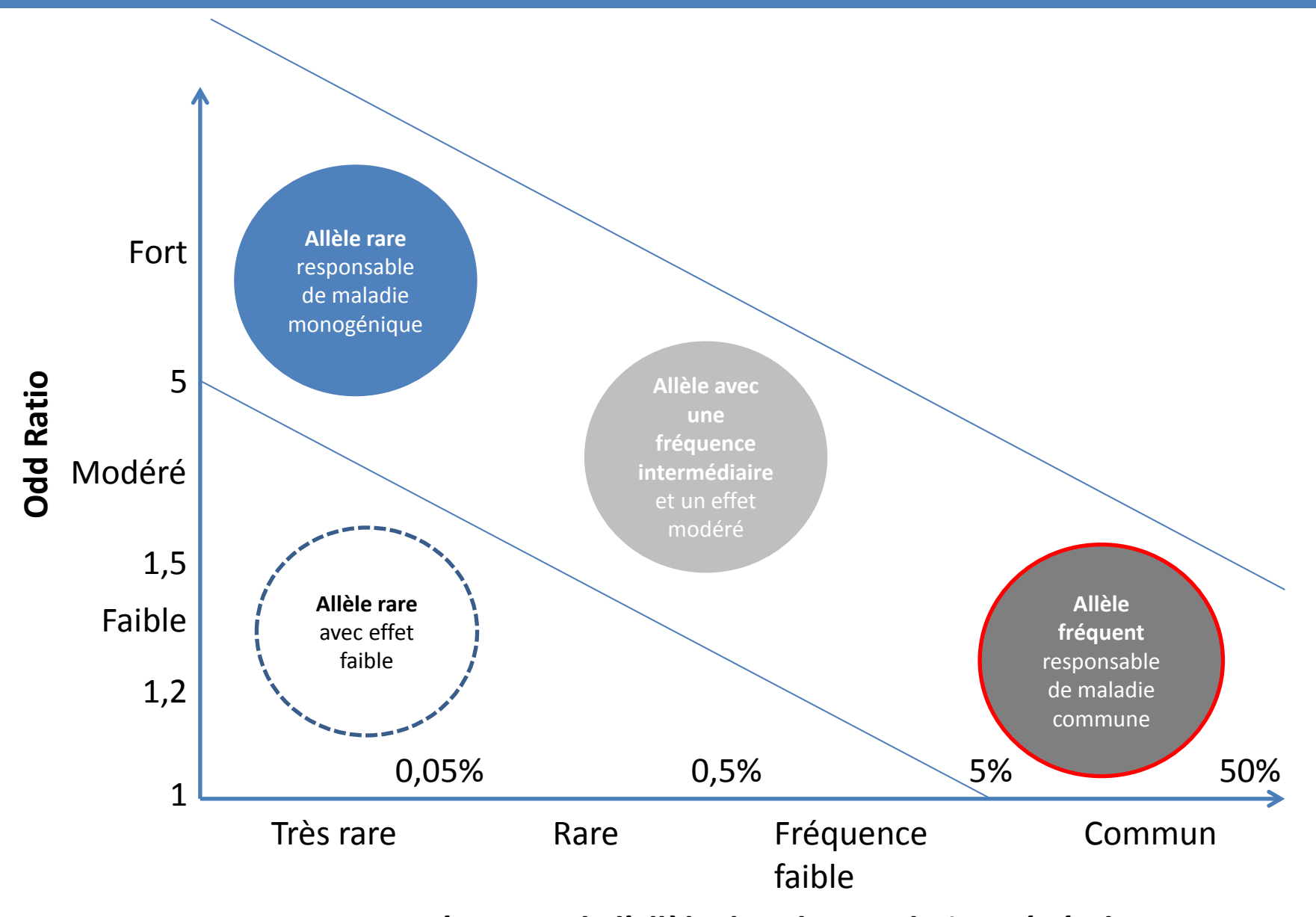
Pui et al., Nat Rev Clin Oncol **16**, 227–240 (2019) Moorman, Haematologica **101**: 407-416 (2016)

## Génétique des prédispositions



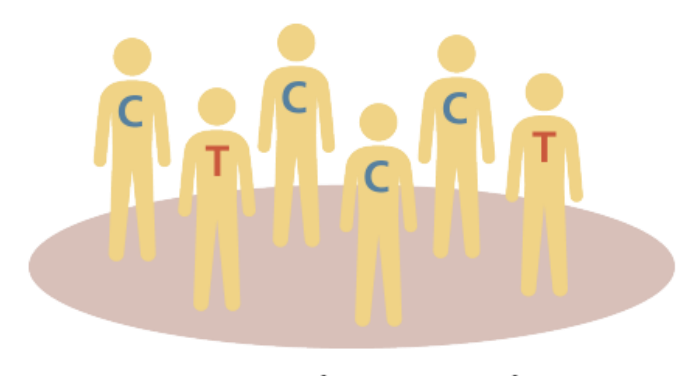
Fréquence de l'allèle dans la population générale

## Génétique des prédispositions

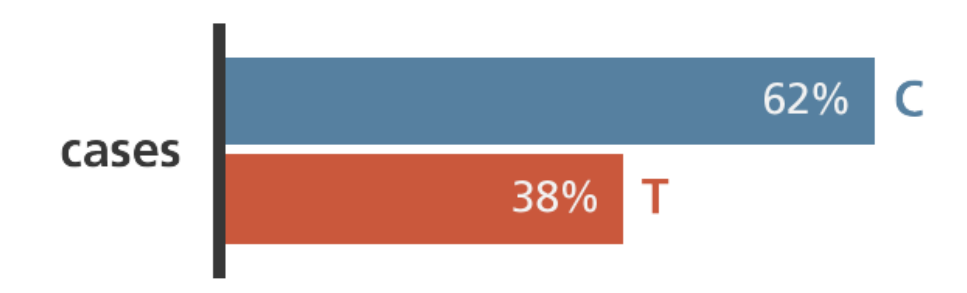


Fréquence de l'allèle dans la population générale

#### **GWAS**

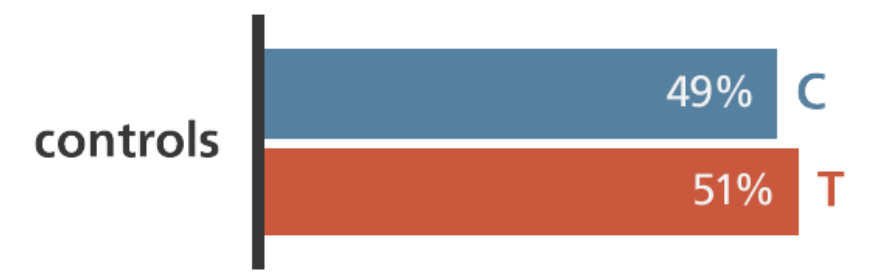


cases (n=1,000)
Personnes avec une leucémie

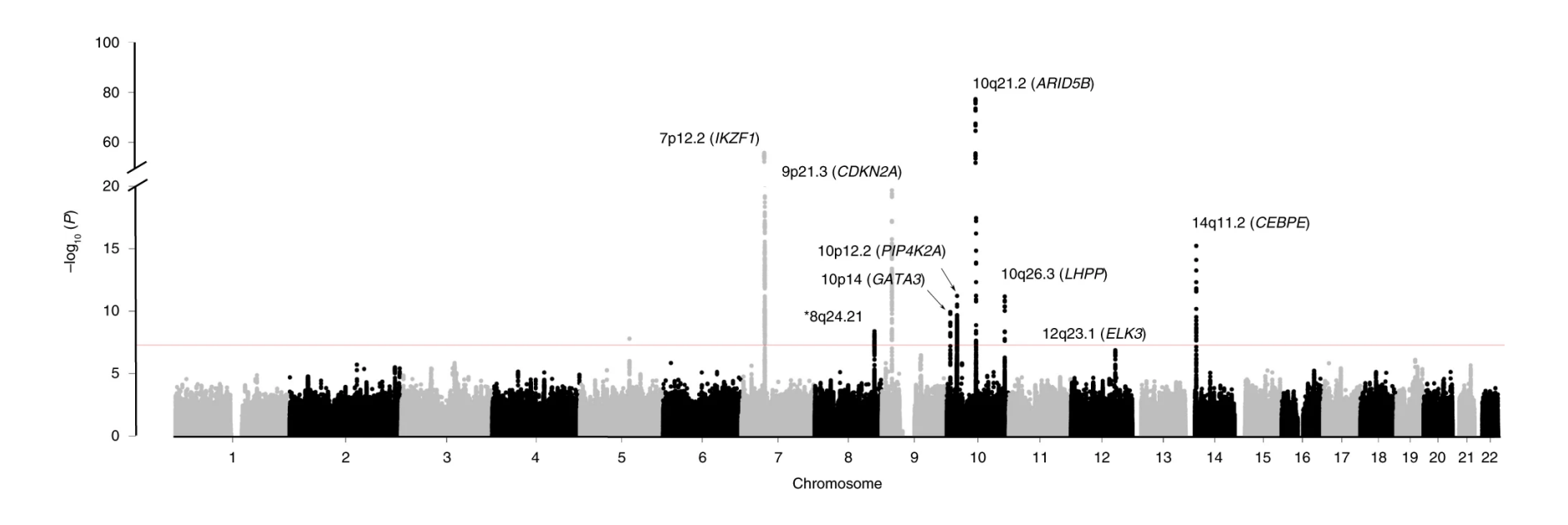




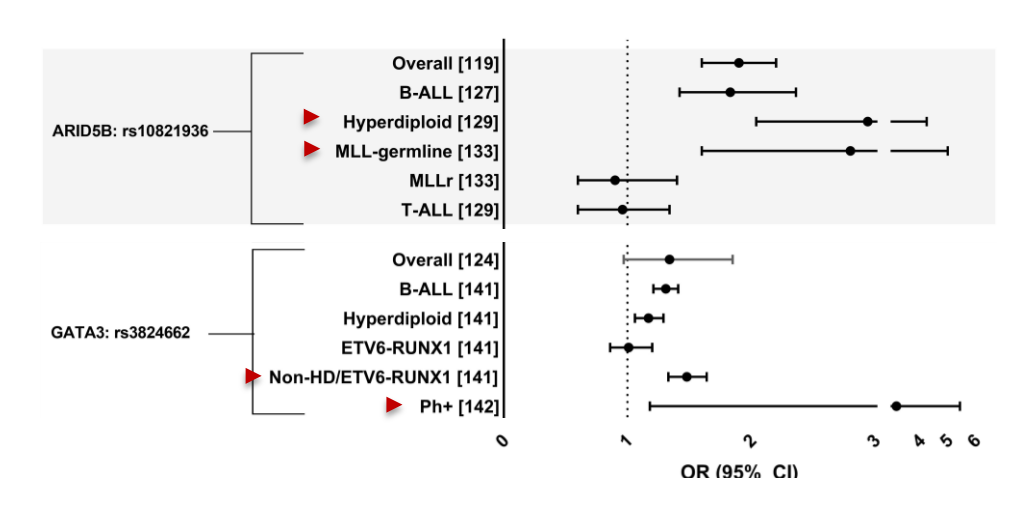
**controls** (n=1,000) Personnes sans leucémie



#### GWAS dans les LAL

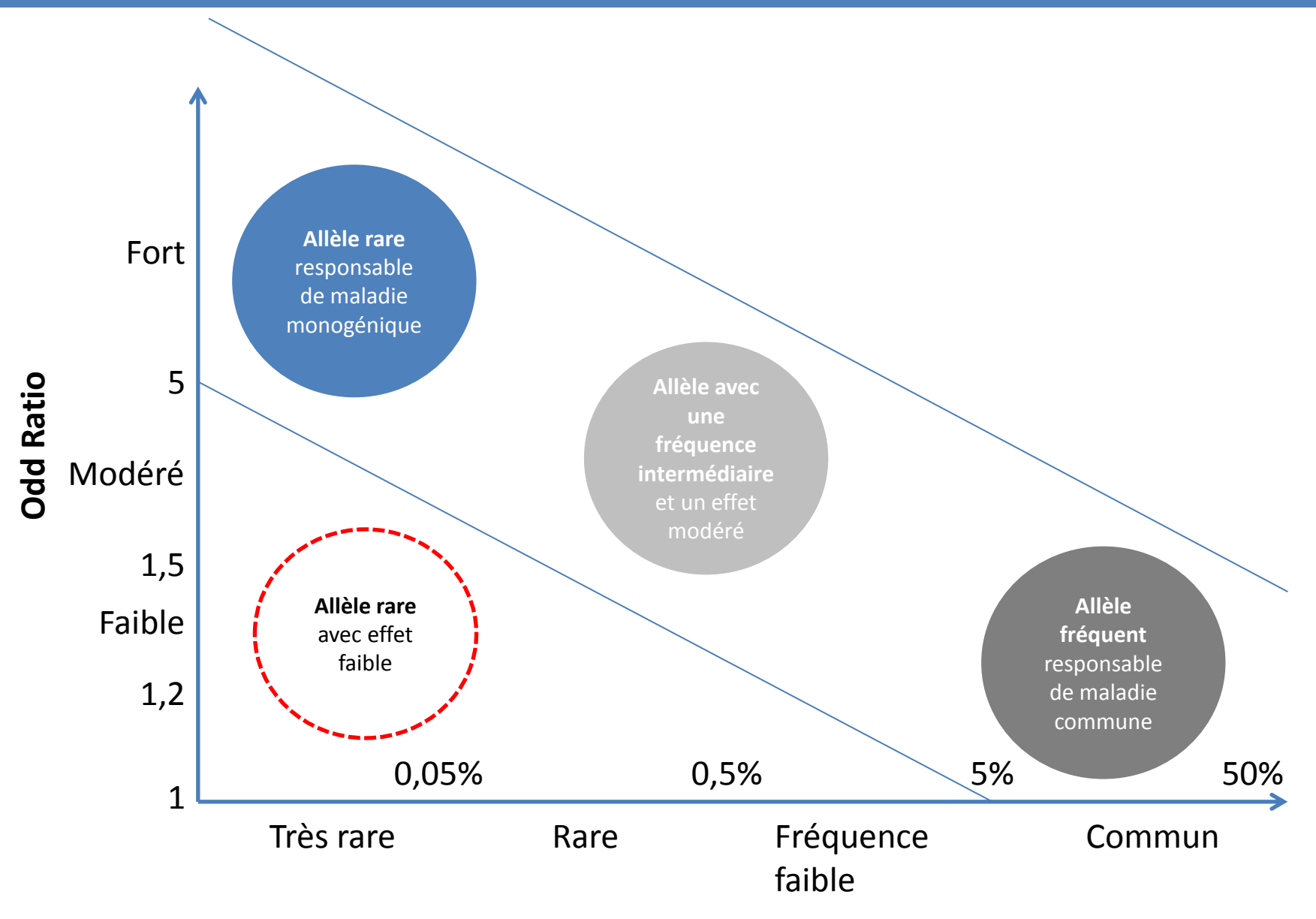


Gene	Risk allele frequency (Caucasian control pop.)	Odd ratio
IKZF1	0.27	1.69
ARID5B	0.34	1.65
CEBPE	0.52	1.34
GATA3	0.20	1.31



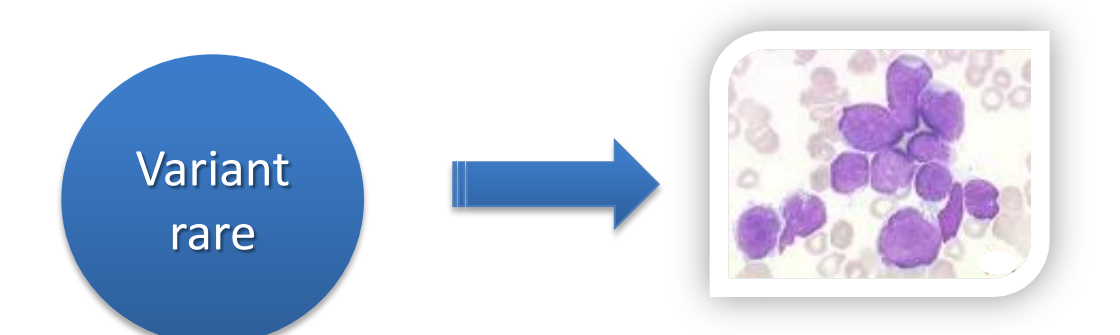
Vijayakrishnan et al., Nat Commun **9**; 9(1):1340 (2018) Williams et al., Cancer Epidemiol Biomarkers Prev, **28**(5):846-856 (2019)

## Génétique des prédispositions



Fréquence de l'allèle dans la population générale

#### Maladies du développement prédisposant aux LAL



Pénétrance faible



#### Pénétrance élevée

Down syndrome 1/1000; tri21

Weaver, <1/1M; *EZH2*  Noonan, 1/2000; PTPN11, SOS1

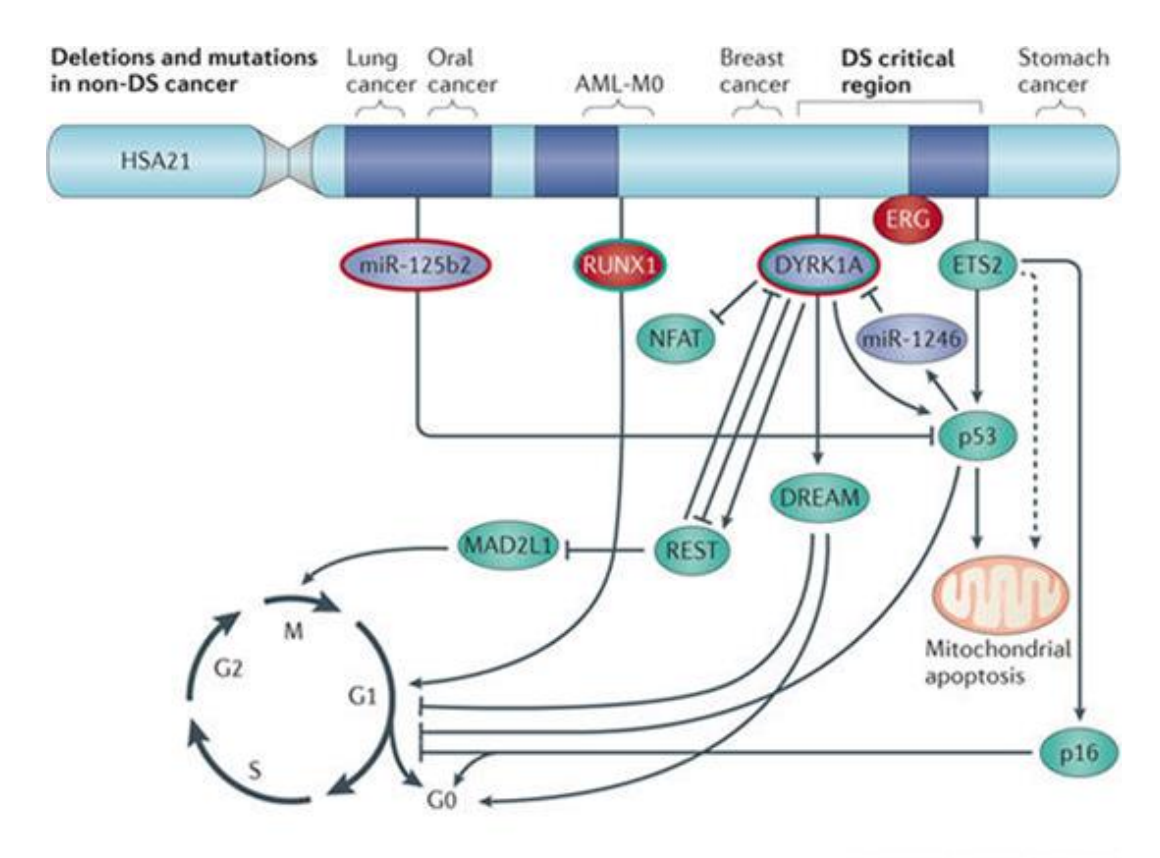
Sotos, 1/14000; *NSD1*  Börjeson-Forssman-Lehmann

PHF6

Rubinstein-Taybi 1-9/100000; CREBBP, EP300

Syndromes with moderate clinical, but biologically highly plausible ALL association

#### T21 et Leucémies

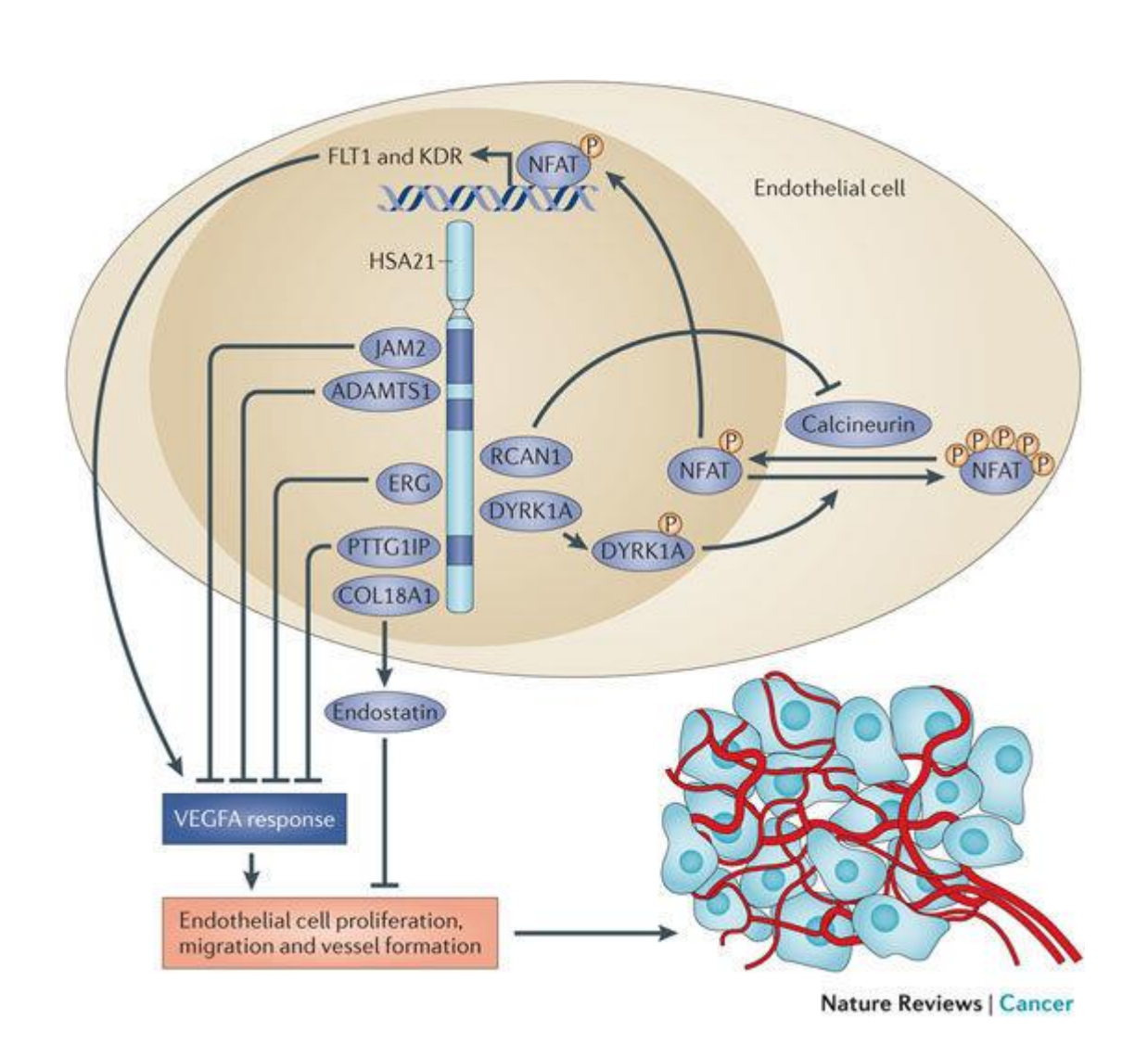


## Risque x50 de développer une leucémie ALL ou AML

- Instabilité chromosomique (générale aux aneuploïdies)
- Oncogènes sur le chromosome 21 (région dupliquée dans de nombreux cancers (testicules, ovaires, ALL (22%), AML(5%))

Nature Reviews | Cancer

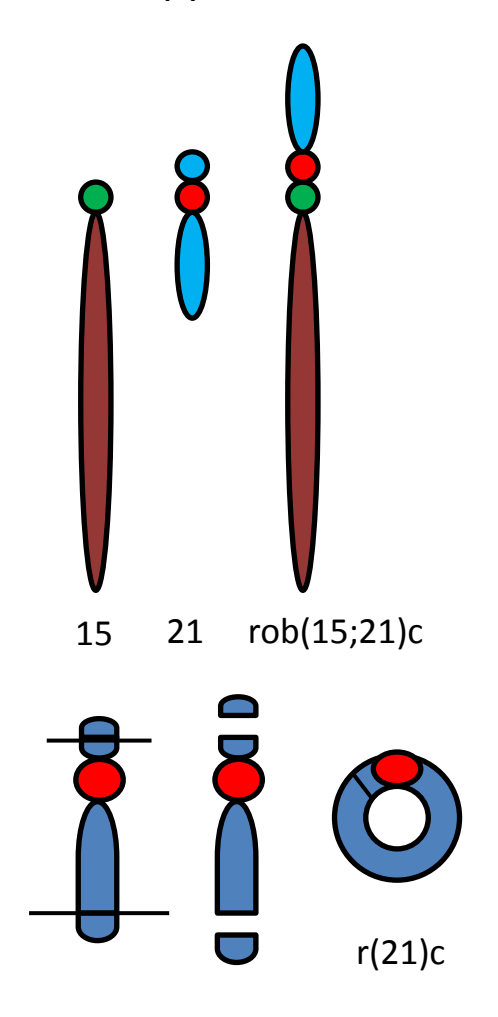
### T21 et Leucémies

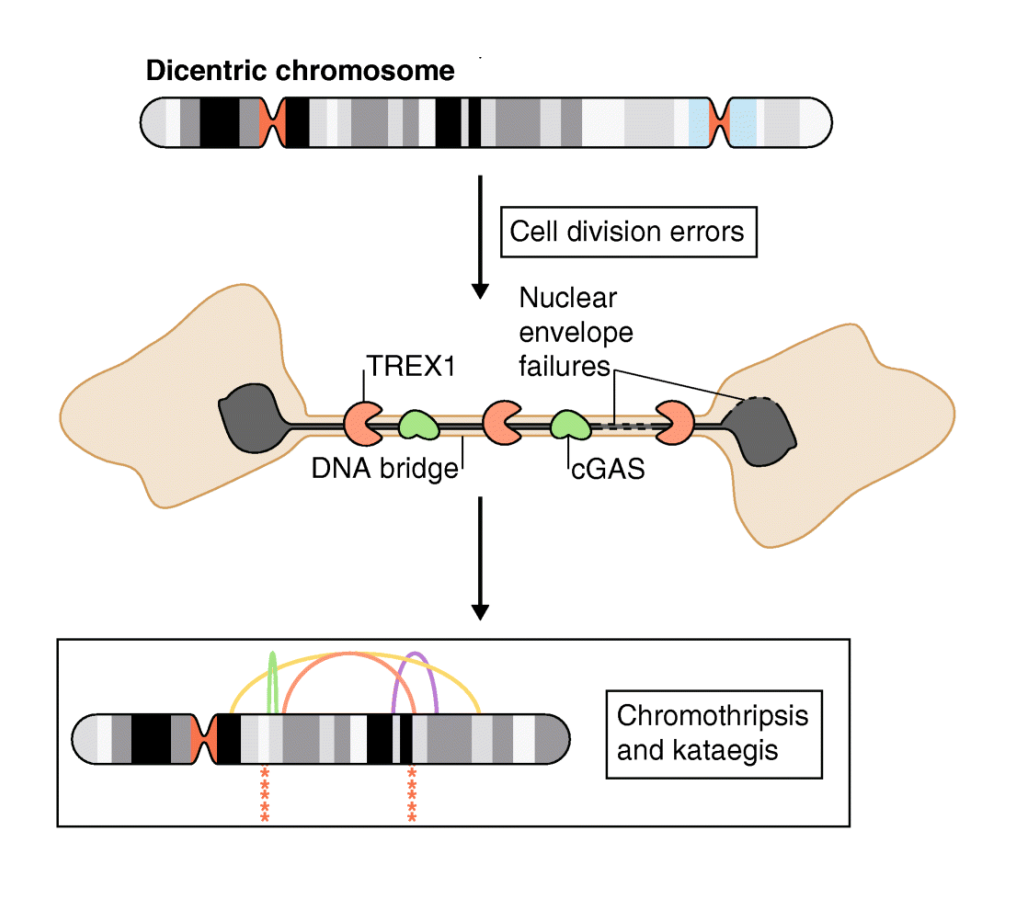


Paradoxe des tumeurs solides

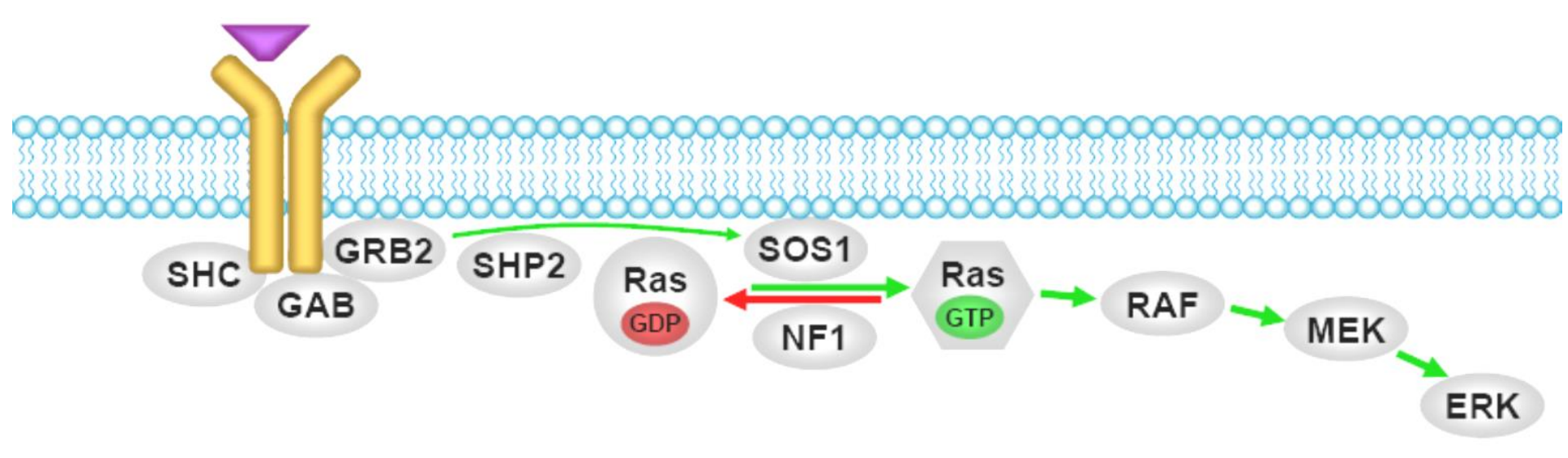
## Anomalies cytologiques et LAL

Incidence ~ 1:100,000-200,000 naissances Risque de développer iAMP21-ALL x2700





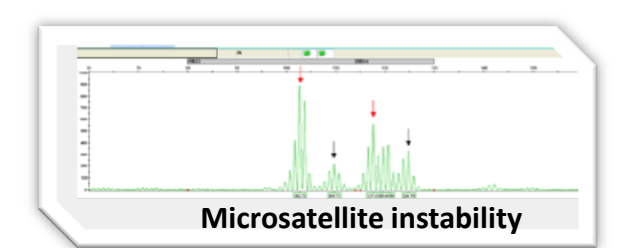
## Syndrome de Noonan et LAL



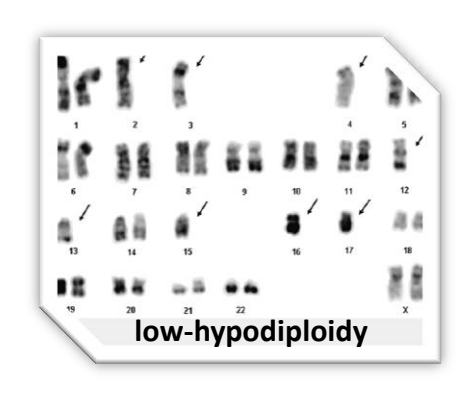
- 6 ALL in 1176 consecutive patients with NS
- European cohort : PTPN11 (n=15) SOS1 (n=2)
- Duplication of PTPN11<sup>mut</sup> in 2 patients (driver)
- 13/17 HeH-BCP-ALL
  - → Specific biology
  - → Higher risk of therapy-induced MDS/AML (n=4)

## Les syndromes avec un risque de cancer élevé

- Ataxia telangiectasia (ATM)
  - AR, T-ALL/NHL, immunodeficiency, neurological phenotype
- Nijmegen breakage syndrome (NBS1)
  - AR, T-ALL/NHL, immunodeficiency, microcephaly
- Bloom syndrome (BLM)
  - AR, immunodeficiency, microcephaly
- Fanconi anemia
  - AR, BMF, microcephaly



- Constitutional mismatch repair deficiency (MLH1, MSH2, MSH6, PMS2)
  - AR, mainly T-cell ALL, CAL spots
- Li-Fraumeni Syndrome (TP53)
  - AD, 50% in low-hypodiploid BCP-ALL (32-39 chr.) but other karyotypes also occur
  - de novo mutations occur in ~10%−20% of LFS cases



## Signature biologique

Leukemia (2017) 31, 2048–2056

2017 Macmillan Publishers Limited, part of Springer Nature. All rights reserved 0887-6924/17

www.nature.com/leu

#### **ORIGINAL ARTICLE**

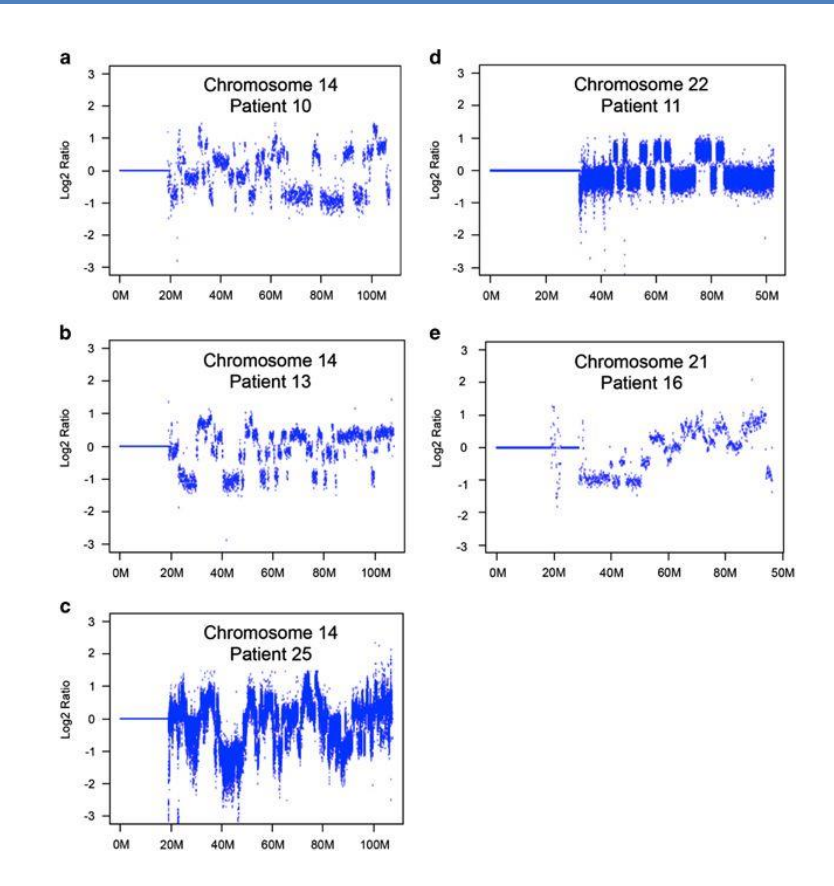
Genomic profiling of Acute lymphoblastic leukemia in ataxia telangiectasia patients reveals tight link between *ATM* mutations and chromothripsis

M Ratnaparkhe<sup>1,25</sup>, M Hlevnjak<sup>1,25</sup>, T Kolb<sup>1</sup>, A Jauch<sup>2</sup>, KK Maass<sup>1</sup>, F Devens<sup>1</sup>, A Rode<sup>1</sup>, V Hovestadt<sup>1</sup>, A Korshunov<sup>3</sup>, A Pastorczak<sup>4</sup>, W Mlynarski<sup>1</sup>, S Sungalee<sup>5</sup>, J Korbel<sup>5</sup>, J Hoell<sup>6</sup>, U Fischer<sup>6</sup>, T Milde<sup>7,8</sup>, C Kramm<sup>9,10</sup>, M Nathrath<sup>11,12</sup>, K Chrzanowska<sup>1</sup>, E Tausch<sup>1,4</sup> M Takagi<sup>1,5</sup>, T Taga<sup>1,6</sup>, S Constantini<sup>17</sup>, J Loeffen<sup>18</sup>, J Meijerinki<sup>9</sup>, S Zielen<sup>2,0</sup>, G Gohring<sup>2,1</sup>, B Schlegelberger<sup>2,1</sup>, E Maass<sup>2,2</sup>, R Siebert<sup>2,3</sup>, J Kunz<sup>8</sup>, AE Kulozik<sup>8</sup>, B Worst<sup>8,24</sup>, DT Jones<sup>8,24</sup>, SM Pfister<sup>8,24</sup> M Zapatka<sup>1</sup>, P Lichter<sup>1</sup> and A Ernst<sup>1</sup>

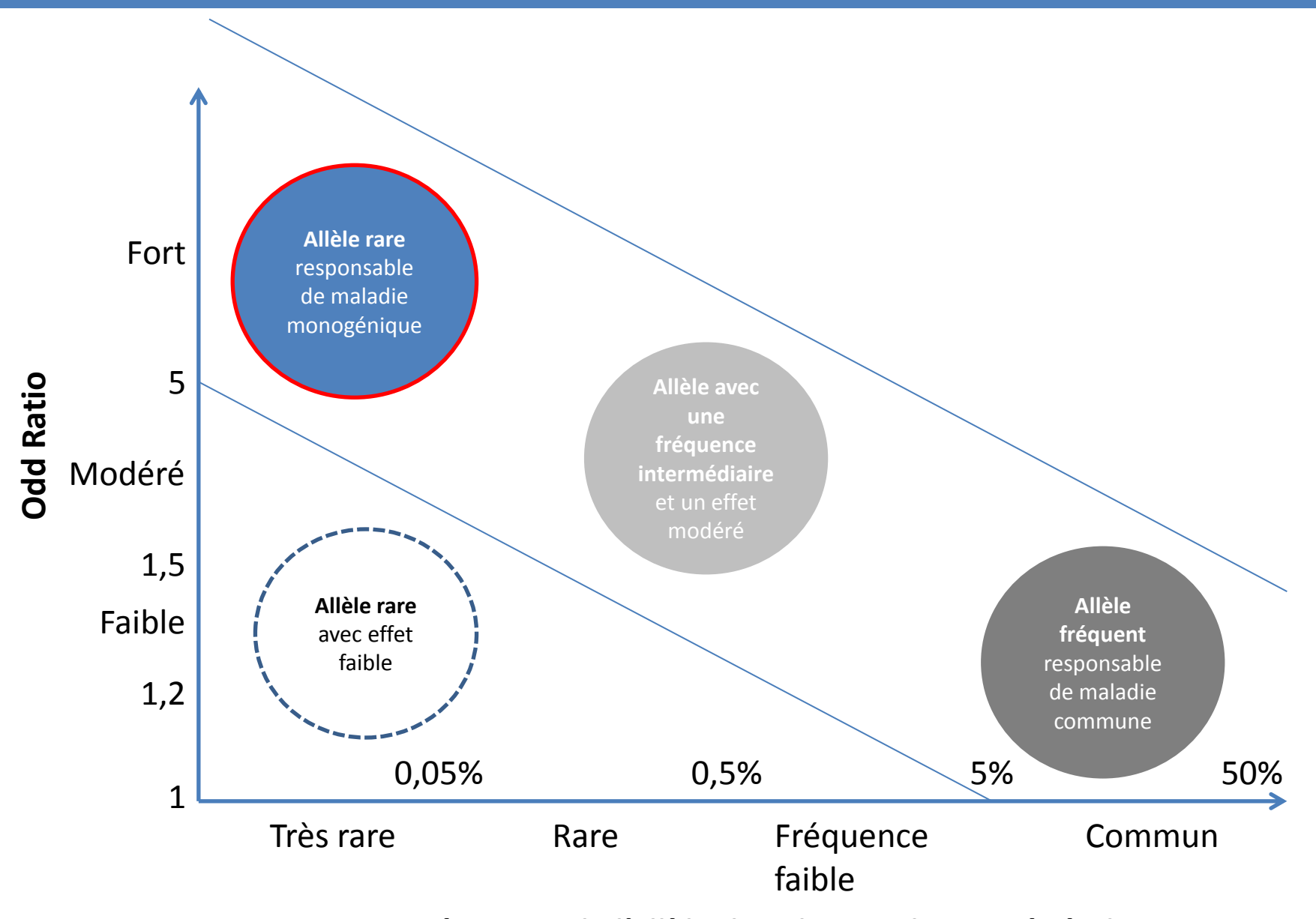
T-ALL in patients with Ataxia Telangectasia

10 to 100 réarrangements in a single chromosome(CGH)

NB: absent from patients with Nijmegen-breakage syndrome (NBS)

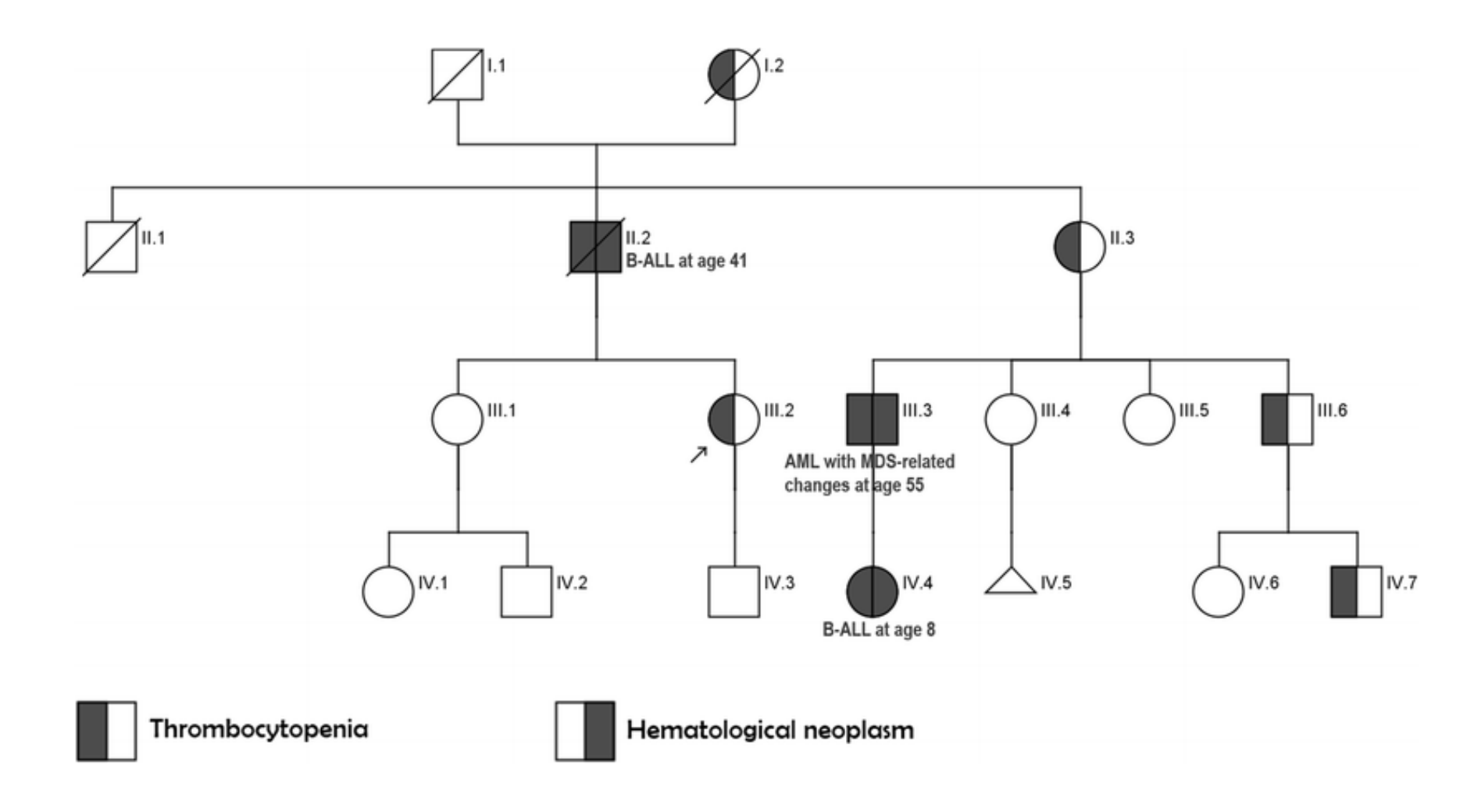


## Génétique des prédispositions

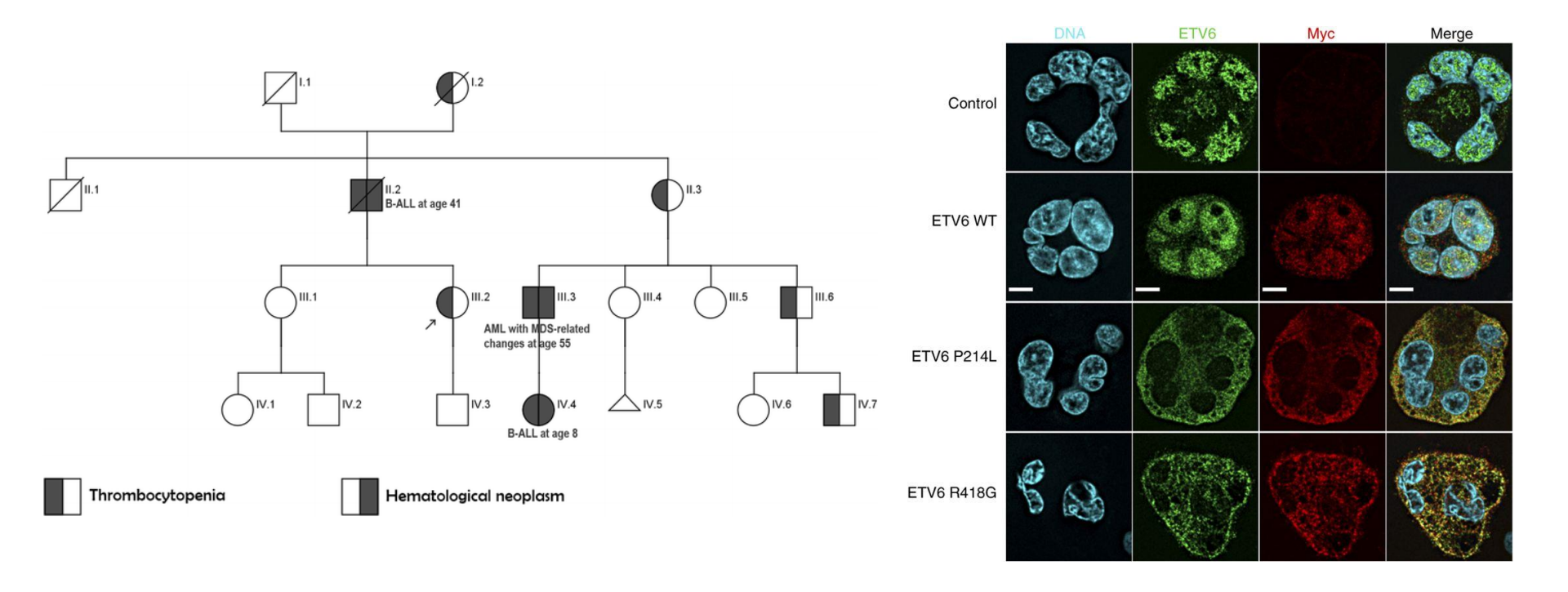


Fréquence de l'allèle dans la population générale

#### ETV6

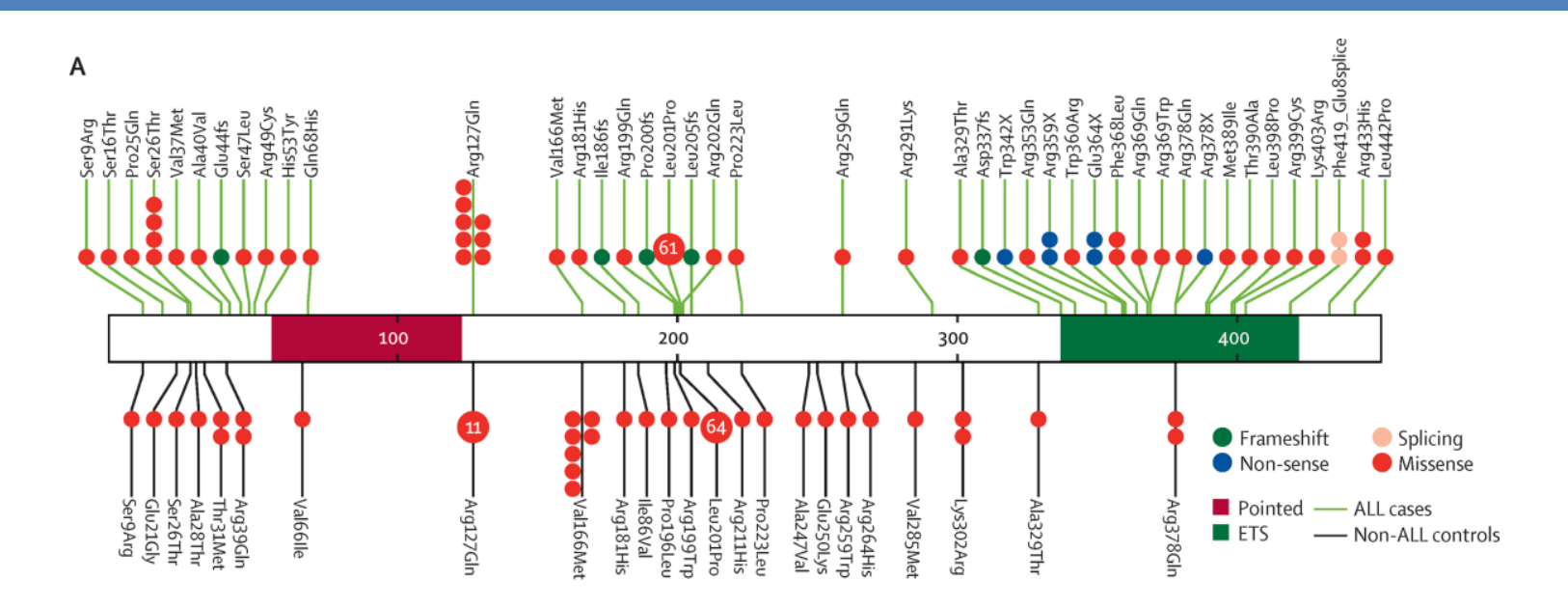


#### ETV6



- Transmission AD (effet dominant négatif)
- Thrombopénies modérées (32-118 G/I) de pénétrance variable,
- Plaquettes de taille normale ou augmentée
- Phénocopies (*RUNX1*, *ANKRD26*)
- LAL ou MDS (2:1)
- Tumeurs solides (carcinomes coliques, ...)

#### ETV6



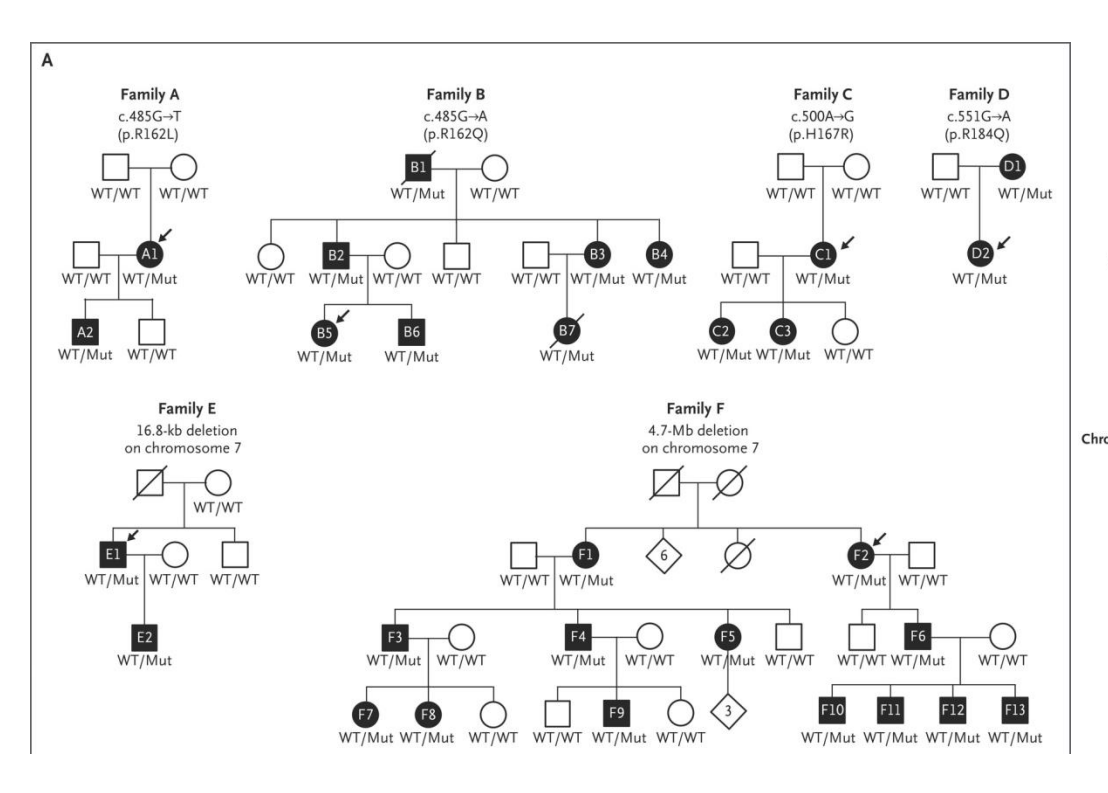
#### 4405 LAL

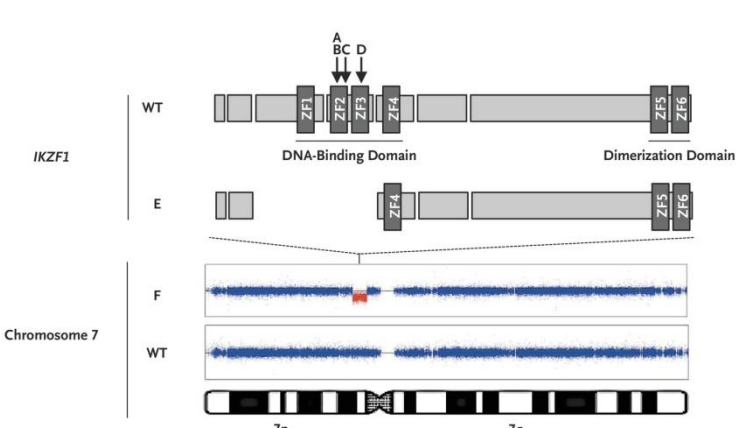
- 31 variants exoniques
- 4 non sens, 21 faux-sens, 1 site d'épissage et 5 frameshift
- 35 familles (env. 1%)
- Plus vieux
- 10.2 years [IQR 5.3-13.8] vs 4.7 years [3.0-8.7]; p=0.017
- LAL hyperdiploïdes
- 9 [64%] of 14 cases vs 538 [27%] of 2007 cases; p=0.0050

#### IKZF1

Mutations hétérozygotes du facteur de transcription IKAROS

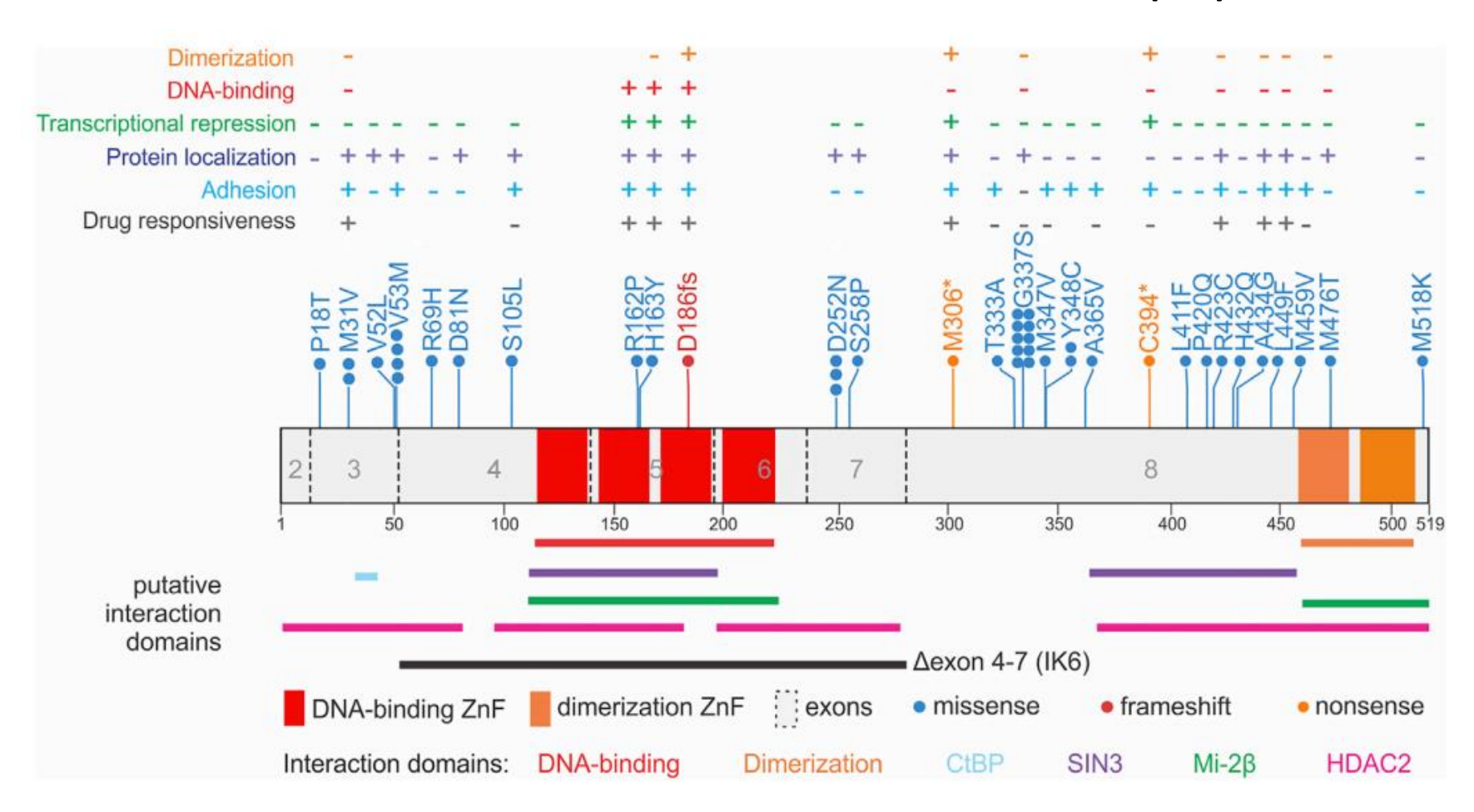
- Forme autosomique dominante de DICV avec perte progressive des lymphocytes B et des immunoglobulines sériques.
- Leucémie lymphoblastique aiguë chez 2 des 29 patients.



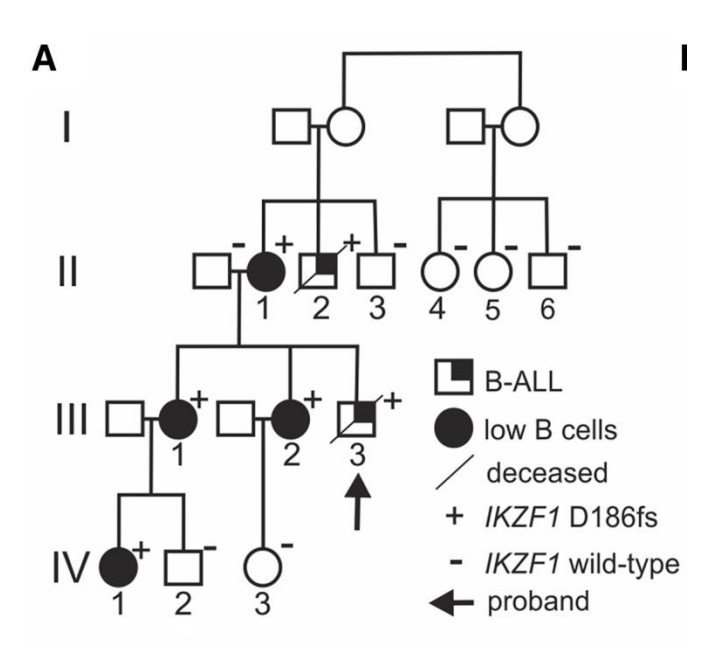


#### IKZF1

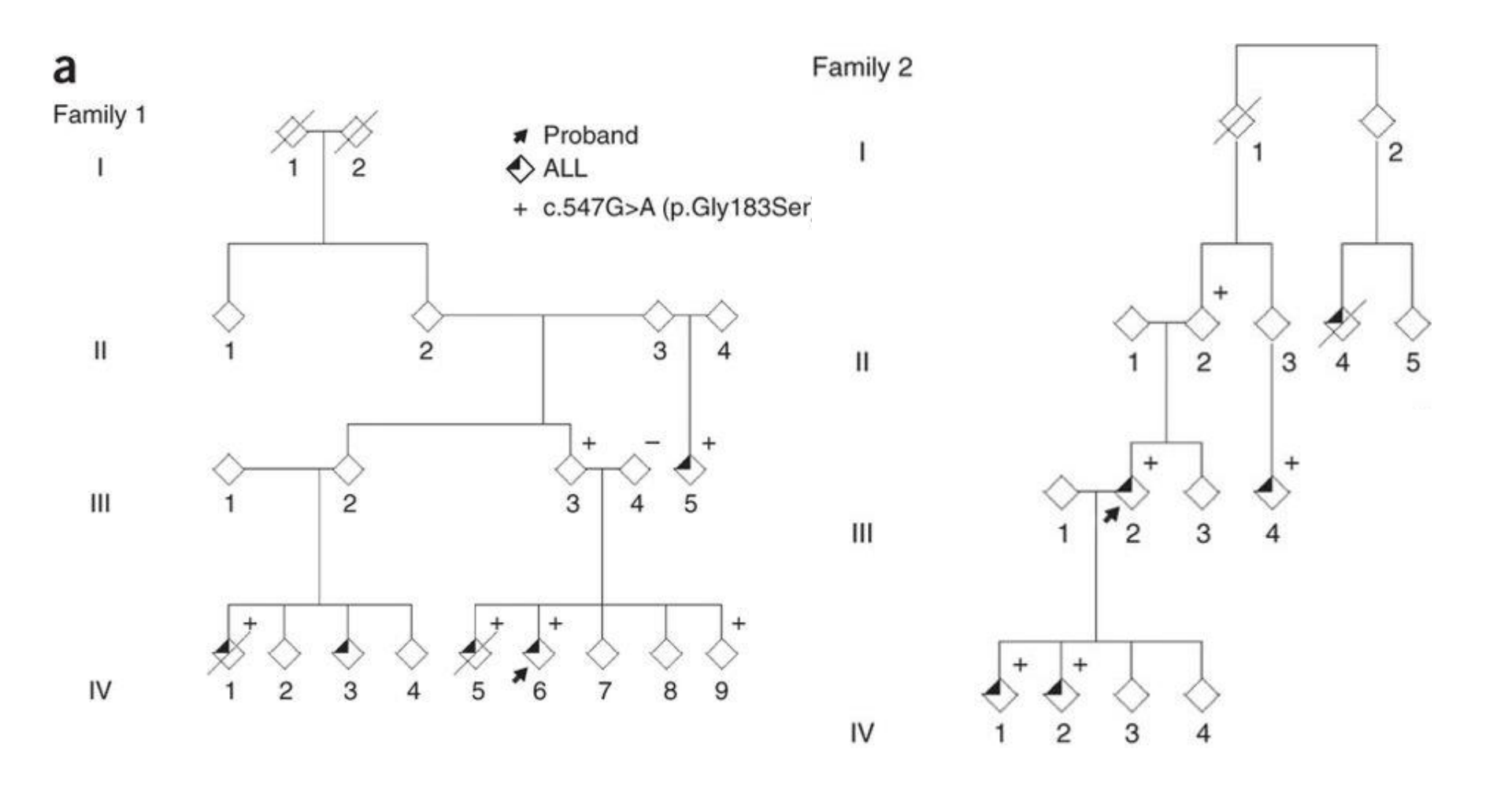
# IKZF1 germline mutation in 45 cases from a cohort 4,963 cases of childhood leukemia (1%)

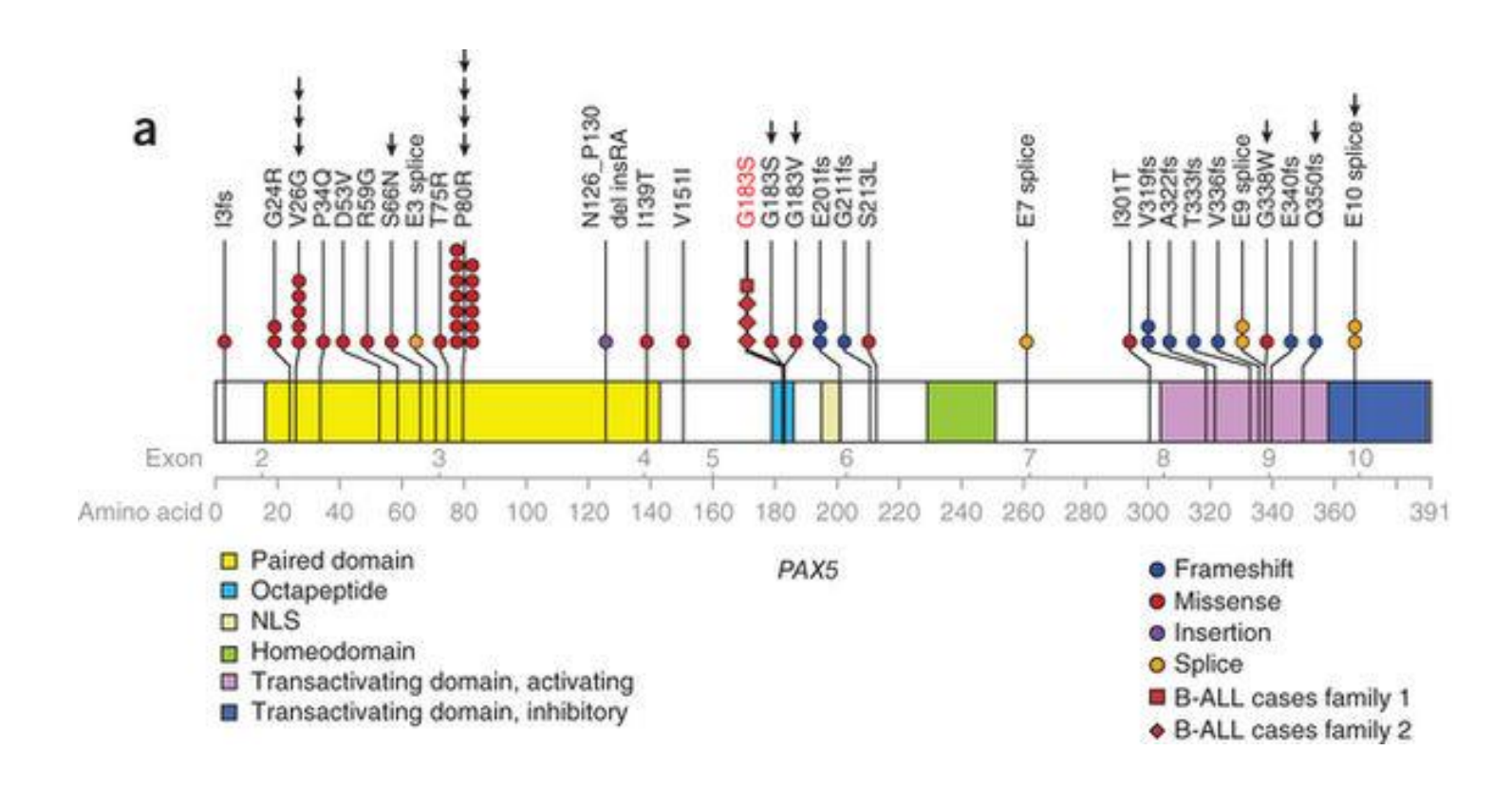


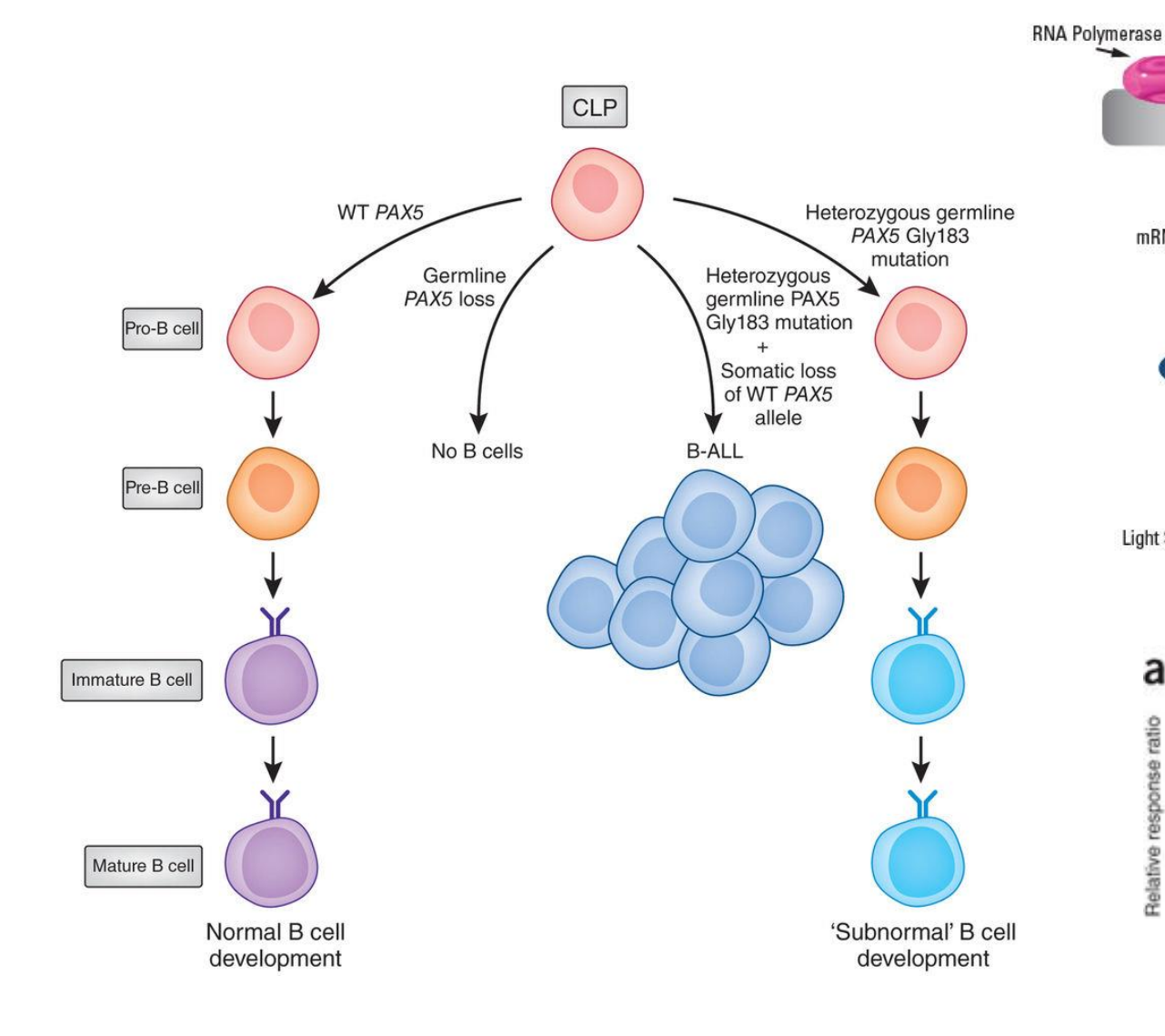
### IKZF1

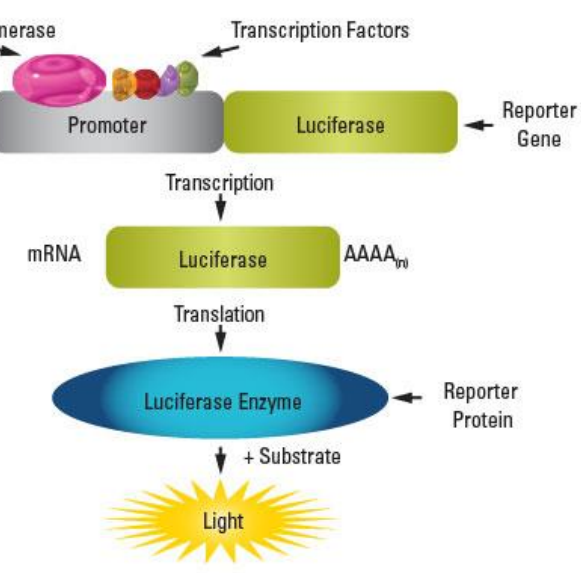


- Transmission AD
- Faible compte de Lymphocytes B,
- Déficit
- B-ALL

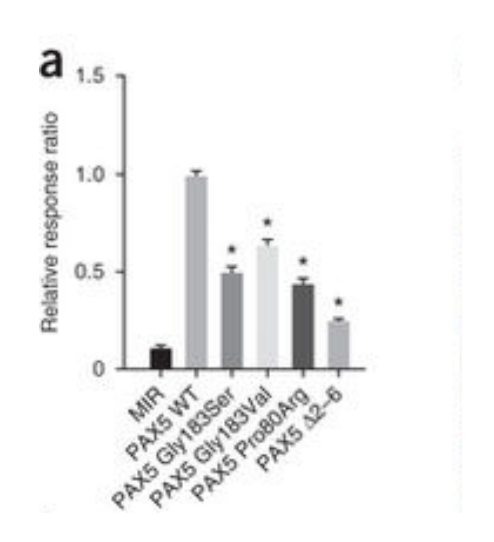


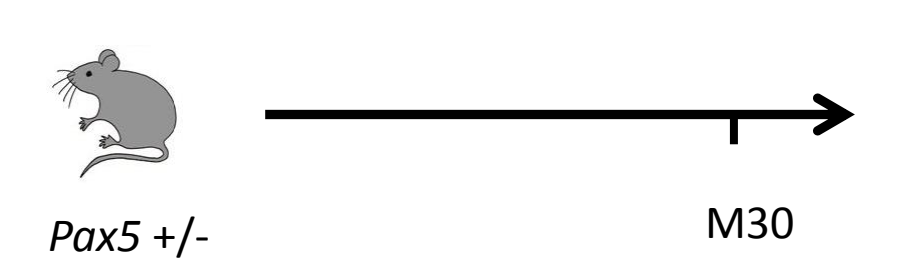




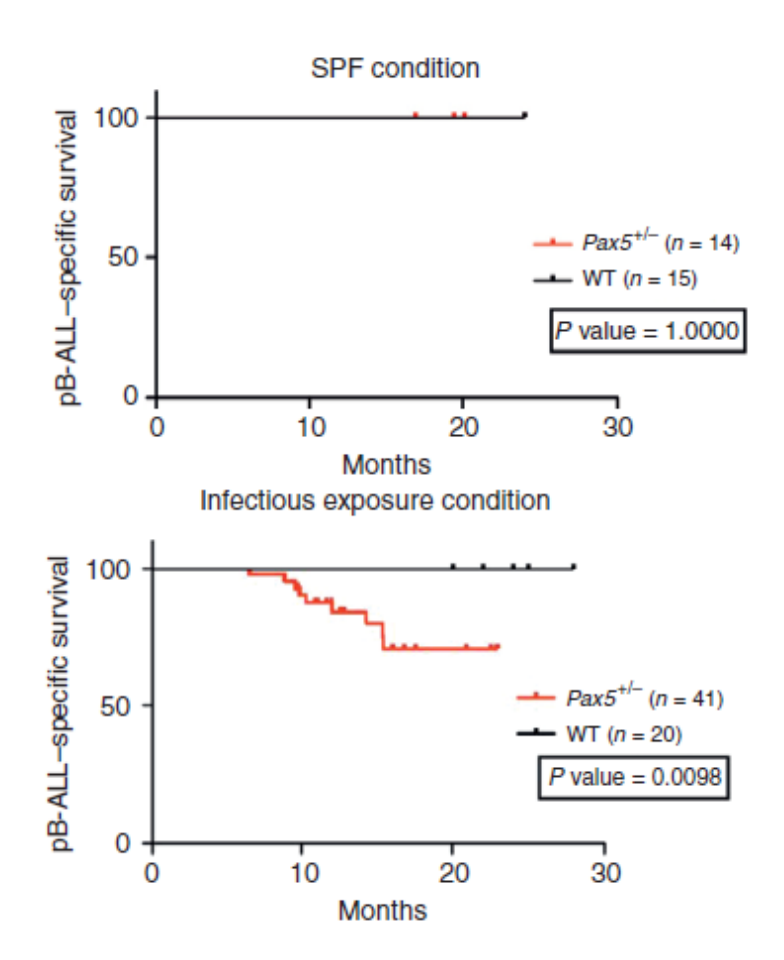


Light Signal = Luciferase Expression = Promoter Activity









#### Infection et LAL

Les études épidémiologiques et de modélisation confirment le double rôle des infections courantes.

- Les expositions microbiennes plus précoces dans la vie (c.-à-d. la stimulation précoce du système immunitaire) sont protectrices.
- mais, en leur absence, les infections ultérieures déclenchent les mutations secondaires critiques

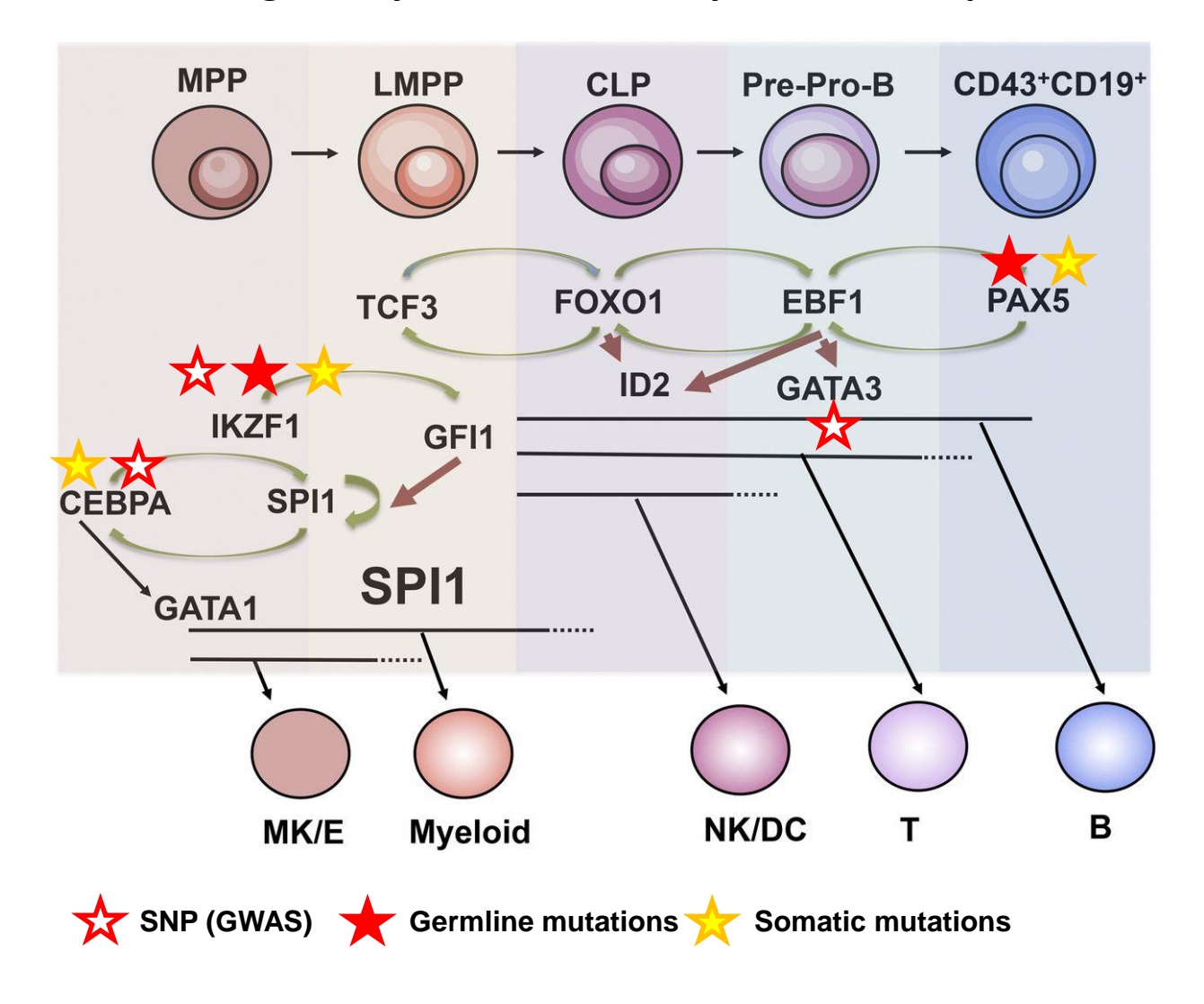
Dans l'enfance, les LAL peuvent être considérés comme une conséquence néfaste et imprévue pour la santé d'une diminution de l'exposition infectieuse au cours de la petite enfance.

Les expositions immunostimulantes comme l'allaitement, la fréquentation d'une garderie, le contact avec des chats et des chiens et la présence d'allergies présentent des associations inverses chez les enfants.



#### Facteurs de transcription - développement et leucémie

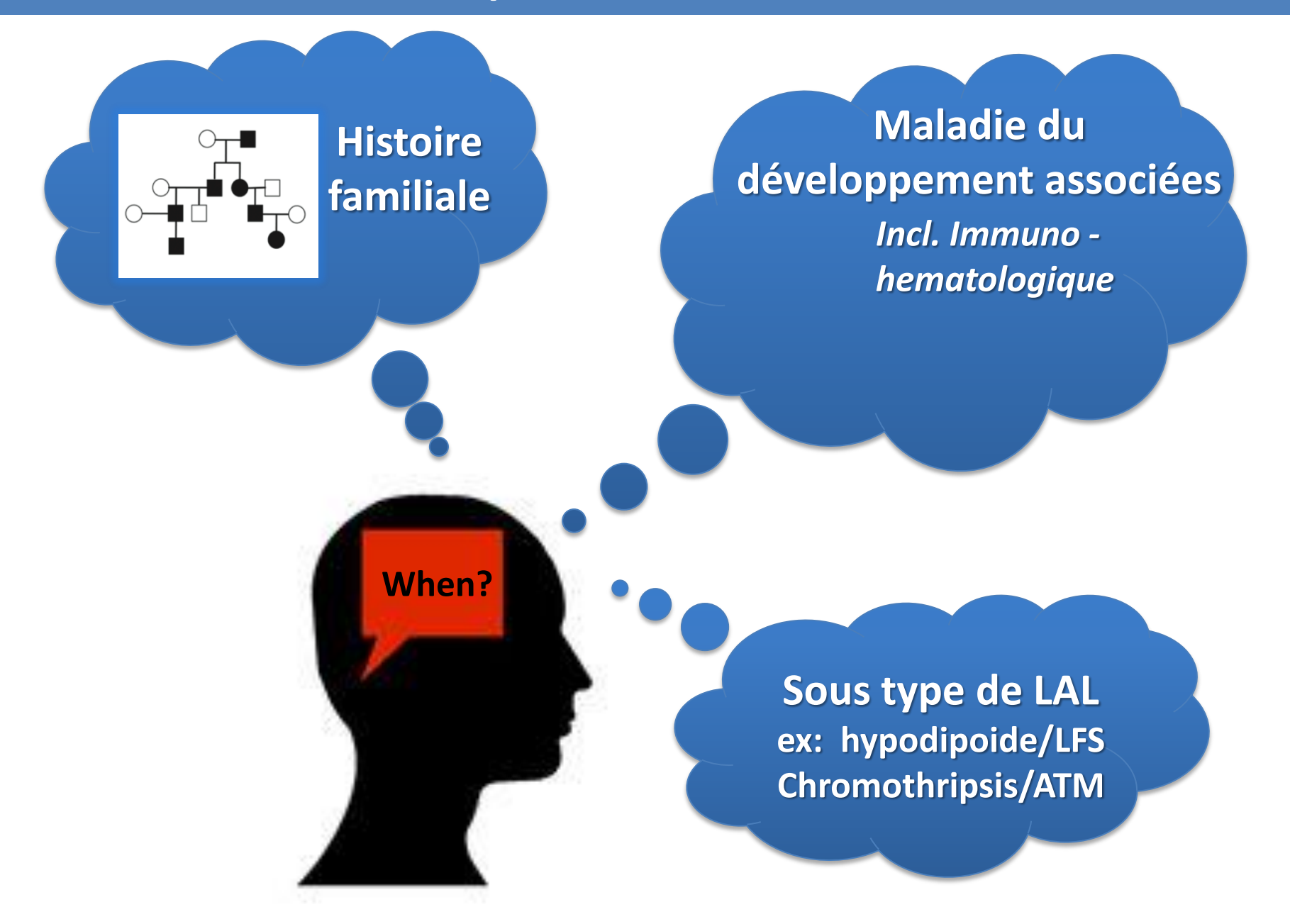
#### Regulatory networks in early B-cell development



## Prédisposition aux LAL

- rares individuellement, mais en tant que groupe, elles représentent une proportion croissante des cas de LAL (aucune fréquence formelle estimée).
- pénétrance modérée à élevée
- facteurs de transcription lymphoïde clés
- Variants contitutionnels délétères et mutations somatiques courantes des LAL affectent les mêmes gènes dont PAX5, ETV6 et IKZF1.

## Prédisposition aux LAL



## Prédisposition aux LAL

- Thérapies ciblée pour éviter les toxicités liées au traitement (aiguës : aplasie, SMD, infections ; tardives : cancer secondaire)
- Greffe de moelle osseuse / dépistage chez les donneurs (apparentés)
- Surveillance (intérêt limité en raison de l'apparition précoce des LAL)
- Conseil génétique
- Prévention



#### Panel de prédispositions aux hémopathies malignes

#### Large panel de gène (147 gènes)

- Prédispositions aux leucémies aiguës lymphoïdes
- Prédispositions aux leucémies aiguës myéloïdes et aux syndromes myélodysplasiques
- Pathologies syndromiques prédisposant aux cancers hématologiques et à des déficits immunitaires

**CGH** array

**Exome** 

Génome